

III-264豪雨時主動土圧とテルツィアギーとペックの設計土圧との比較

豊橋技術科学大学

和歌山工業高等専門学校

名古屋大学

正会員 河邑 真

正会員 市原松平

正会員 松澤 宏

1. まえがき

壁の背面が傾斜し、また裏込め土砂でてんば面が水平面に対して傾斜したようは、一般によく見られる擁壁に作用する豪雨時の主動土圧に関する研究は理論および実験の両面において少ない。この理由の一つに、上述の幾何学的条件に対して、裏込め土中の浸透流の解を解析的に求められないことがある。筆者らはこれに着目し、豪雨時に裏込め表面から流入し、擁壁背後の排水層に向かって流れれる浸透流の速度ポテンシャルを数値解析によって求め、豪雨時主動土圧を算定する方法を開発した。¹⁾さらに、大型砂槽を用いて裏込め土中に浸透流を発生させた主動土圧実験を行った結果、豪雨時主動土圧の実験値は筆者らが開発した算定法による値によく合致することが確かめられた。²⁾ここでは、筆者らの開発した算定法による豪雨時主動土圧の値と、設計によく用いられるテルツィアギーとペックによる主動土圧との比較を行い、テルツィアギーとペックの設計土圧は裏込め土中の浸透流の影響をどの程度考慮したものに對応するかについて考察を行う。

2. 豪雨時主動土圧の算定方法¹⁾

図-1(a)に示すように、 $\gamma = \gamma_0 e^{-w \tan \phi}$ で与えられる全域、対数らせんからなるすべり面、裏込めてんば面ならびに壁面で区分されるすべり土塊を考え、後述する開けき水圧 p_w をすべり面に付加して豪雨時主動土圧の合力 P_{AW} を求める。この P_{AW} はすべり土塊の重さ W 、すべり面に作用する開けき水圧 p_w による極のまわりの回転モーメントの釣合より求められる。

すべり面に作用する開けき水圧 p_w は、裏込め土中の各点における速度ポテンシャルを逐次過緩和法によって求めておき、次式に示す関係より求めた。

$$h = \gamma / k = p_w / \gamma_w + H - x \quad (1)$$

ここに、 h は裏込め土中の任意の点における水頭であり、 $H - x$ は壁底を基準とした位置水頭である。

壁高 H_w に対する盛土高さ H_s の比 H_s/H_w と土圧係数 K_{AW} の関係の一例を示すと、図-1(b)のようになる。この図は $\alpha_i = -10^\circ$, $\beta = 20^\circ$, $\gamma_{sat} = 20 \text{ kN/m}^3$ として計算したものである。 K_{AW} と P_{AW} の関係は次式で与えられる。

$$P_{AW} = \gamma_{sat} H_w^2 K_{AW} / (2 \cos \alpha_i \cos \delta) \quad (2)$$

また、この例は図中に示した不透水層の位置が異なる3つのタイプについて計算したものである。 K_{AW} の値は H_s/H_w とともに増加し、Type C の K_{AW} は Type A, Type B に比べて小さい。さらに、ここに示された例では、浸透流の影響により主動土圧の大きさは最大で2.4倍となっている。

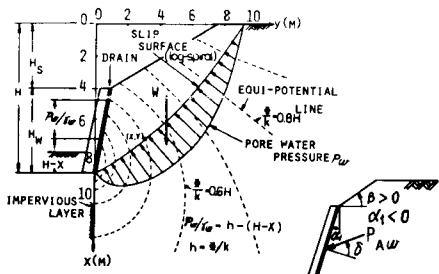


Fig. 1 (a)

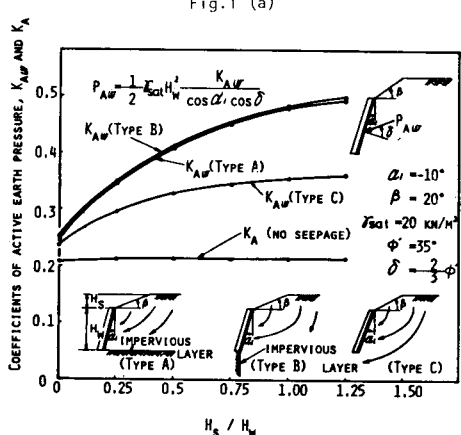


Fig. 1 (b)

このように浸透流の影響により、主働土圧が増加することは筆者らにより実験的にも検証されている。²⁾

3. テルツィアギーとペックの設計土圧との比較

テルツィアギーとペックがきれいな砂までは砂利からなる地表面傾角 $\beta = 30^\circ$ の地盤に対して示した水平土圧係数 K_h から求めた土圧合力 P_H と、図中に示す H_1 と H_2 の比 H_1/H_2 との関係を図-2に破線で示した。なお水平土圧合力 P_H と K_h との間には次式の関係がある。

$$P_H = (\delta \cdot K_h \cdot H_2^2) / 2 \quad (3)$$

K_h の算定根拠は示されていないが、裏込め土をよく締め固めた擁壁背後の水はその前面に排出するという重要な事項を考えると、裏込め土としては内部摩擦角 $\phi' = 40^\circ$ 、壁摩擦角 $\delta = (2\phi')/3$ 、単位体積重量 $\gamma_{sat} = 20 \text{ kN/m}^3$ 、排水条件としては図-1(レ)の Type C が妥当であると考えられる。また、擁壁背面の鉛直面に対する傾角 α_1 の値も示されていないが、筆者らの計算によれば α_1 を 10° から 30° まで変化させても α_1 が P_H に及ぼす影響はあまり大きくなない。したがって、ここでは $\alpha_1 = 20^\circ$ の場合を示す。

テルツィアギーとペックによる設計土圧と筆者らの算定による豪雨時主働土圧には次のような差異がある。すばやく、テルツィアギーとペックは土中の鉛直面に作用する土圧を与えているのに対して、筆者らは壁面に作用する土圧を与えている。したがって、両者の比較においては、両者の水平成分の釣合を考え、壁面土圧合力 P_{AW} をテルツィアギーとペックが用いた土中の鉛直面に作用する土圧合力 P_{HW} に換算して表わす。また、筆者らは盛土高さ H_s と壁高 H_w の比 H_s/H_w を用いているのに対して、テルツィアギーとペックは図-2に示す H_1 と H_2 の比 H_1/H_2 を用いている。したがって、次のようないき方を用いて換算を行った。

$$\left. \begin{aligned} H_2 &= H_w (1 + \tan \alpha_1 \tan \beta) \\ H_1 &= H_s - H_w \tan \alpha_1 \tan \beta \\ \frac{H_1}{H_2} &= \frac{1}{1 + \tan \alpha_1 \tan \beta} (H_s - H_w \tan \alpha_1 \tan \beta) \end{aligned} \right\} (4)$$

図-2の実線は上述して計算条件を用いて計算した壁面土圧合力 P_{AW} を土中の鉛直面に作用する土圧合力に換算したものである。ここに、 P_{HW} は浸透流がある場合、 P_H は浸透流の影響を考慮しない場合である。

図-2の一点鎖線は、浸透流による土圧合力の増分量すなはち浸透流を考慮した場合としない場合の土圧合力の差 ($P_{HW} - P_H$) の $\frac{2}{3}$ を P_H に加えたものである。この図から、一点鎖線と破線で表わされる土圧合力の値は良い対応を示していることがわかる。

したがって、テルツィアギーとペックがきれいな砂までは砂利に対して示した設計土圧は、浸透流による土圧合力の増分の $\frac{2}{3}$ 程度を考慮したものに対応することがわかった。

- (参考文献) 1) 市原松平・河邑眞・伊藤文隆：豪雨時の主働土圧の算定、土木学会論文報告集、295号、1980、pp.65-99.
 2) 河邑眞・松澤宏・竹内利彦：裏込め土中の浸透流を考慮した主働土圧実験、土木学会第35回年次講演会概要集、1980年、pp.382-383.
 3) Terzaghi and Peck : Soil Mechanics in Engineering Practice, 1948, p.317.

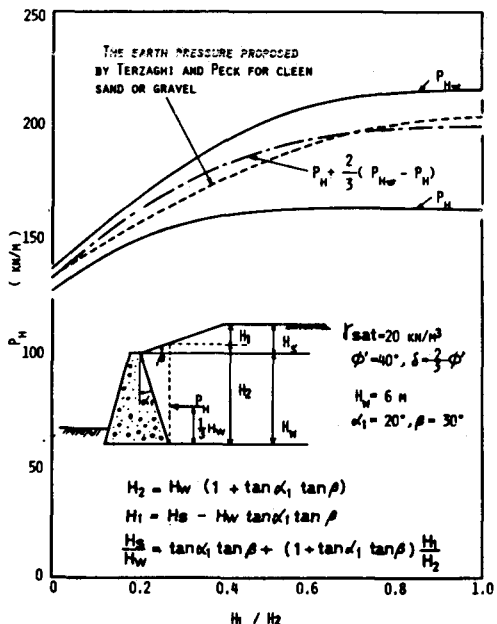


Fig.2